

DOI:10.61818/02910539

ISSN: 2965-0291



Boletim de monitoramento climático de grandes bacias hidrográficas: Bacia Amazônica

Volume 5, Número 39

Manaus, 24 de setembro de 2025



MINISTÉRIO DA
CIÊNCIA, TECNOLOGIA
E INOVAÇÃO



Boletim de monitoramento climático de grandes bacias hidrográficas: Bacia Amazônica

Editor Chefe Renato Cruz Senna

Meteorologista

Pesquisador - CODAM, INPA

Editoração Renato Cruz Senna

Luan Rogério Rodrigues Carvalho

Adriano Nobre Arcos

Tainá Sampaio Xavier Conchy Rocha

Periodicidade Semanal

Revisão e Diagramação Inácio de Oliveira Lima Neto

Contato Instituto Nacional de Pesquisas da Amazônia - INPA

Av. André Araújo, 2.936 - Petrópolis

CEP 69067-375 - Manaus -AM, Brasil

E-mail: renato.senna@inpa.gov.br

clima.amazonia@inpa.gov.br

Telefone: (92) 3643 3154 / 3643-3170



www.instagram.com/clima.amazonia

Esta pesquisa foi apoiada como parte do Programa de Grande Escala da Biosfera-Atmosfera na Amazônia (LBA), coordenado pelo Instituto Nacional de Pesquisas da Amazônia (INPA), financiado pelo Ministério da Ciência, Tecnologia e Inovação (MCTI) entidade da administração direta do Governo Federal Brasileiro.



Esta obra está licenciada com uma Licença Creative Commons Atribuição - Não Comercial - Sem Derivações 4.0 Internacional.



MINISTÉRIO DA
CIÊNCIA, TECNOLOGIA
E INOVAÇÃO

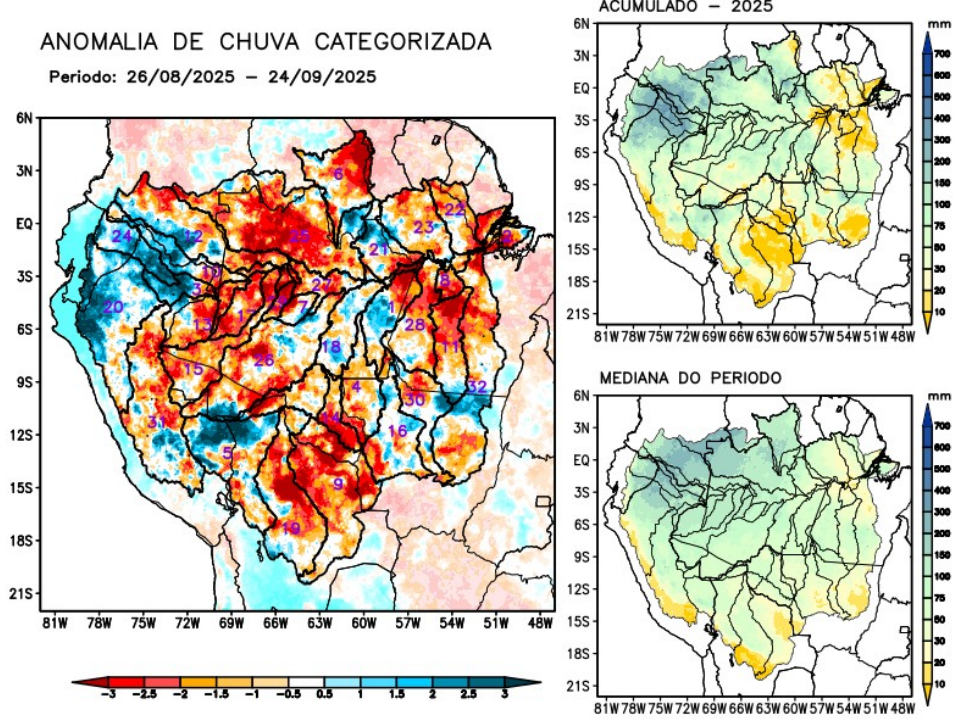


Índice

Condições atuais	1
Bacia do Rio Branco	2
Bacia do Rio Negro	2
Bacia do Rio Marañon	2
Bacia do Rio Ucayali	3
Bacia do Rio Napo	3
Curso principal do Rio Amazonas (Peru)	3
Bacia do Rio Javari	4
Bacia do Rio Içá	4
Bacia do Rio Jutai	4
Bacia do Rio Juruá	5
Bacia do Rio Japurá	5
Bacia do Rio Tefé	5
Bacia do Rio Coari	6
Bacia do Rio Purus	6
Curso principal do Rio Solimões	6
Bacia do Rio Beni	7
Bacia do Rio Mamoré	7
Bacia do Rio Guaporé	7
Bacia do Rio Ji-Paraná	8
Bacia do Rio Aripuanã	8
Bacia do Rio Madeira	8
Bacias da margem esquerda do Rio Amazonas (Amazonas)	9
Bacia do Rio Abacaxis	9
Bacia do Rio Juruena	9
Bacia do Rio Teles Pires	10
Bacia do Rio Tapajós	10
Bacias da margem esquerda do Rio Amazonas (noroeste do Pará)	10
Bacia do Rio Curuá Una	11
Bacias da margem esquerda do Rio Amazonas (nordeste do Pará)	11
Bacia do Rio Iriri	11
Bacia do Rio Xingu	12
Curso principal do Rio Amazonas (Brasil)	12
Previsão multimodelo subsazonal	13
Valores de referência	15
Categorização das anomalias de precipitação	16
Comportamento semanal das anomalias (gráficos auxiliares)	17
Diagrama unifilar das bacias representadas	20

Condições atuais

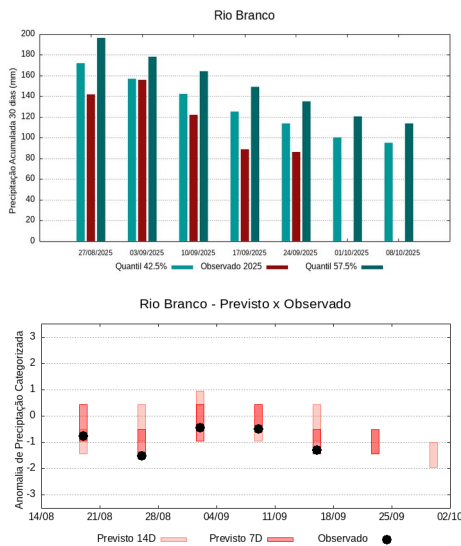
Mapas das condições observadas de precipitação e gráficos individuais por bacias são produzidos a partir dos dados MERGE/GPM gerados pelo INPE/CPTEC, considerando como climatologia o período de 2000 a 2024. **Entre os dias 26 de agosto e 24 de setembro de 2025, chuvas abaixo da climatologia predominaram sobre os territórios brasileiro e boliviano, caracterizando com déficit de precipitação sobre o curso principal do Rio Amazonas em território brasileiro, as bacias hidrográficas dos rios Aripuanã, Branco, Coari, Curuá Una, Guaporé, Iriri, Japurá, Javari, Ji-Paraná, Juruá, Jutai, Madeira, Mamoré, bacias da margem esquerda do Rio Amazonas no nordeste e no noroeste do Estado do Pará, Negro, Purus, Tapajós, Tefé, Ucayali, Xingu e o curso principal do Rio Solimões; previsão de chuvas acima da climatologia sobre o curso principal do Rio Amazonas em território peruano, as bacias hidrográficas dos rios Içá, Marañon e Napo; chuvas próximas da normalidade sobre as bacias hidrográficas dos rios Abacaxis, Beni, Juruena, bacias da margem esquerda do Rio Amazonas no nordeste do Estado do Amazonas e Teles Pires. O multimodelo indica para as próximas semanas previsão de chuvas abaixo da climatologia sobre o curso principal do Rio Amazonas em território brasileiro, as bacias dos rios Abacaxis, Aripuanã, Branco, Curuá Una, Iriri, Ji-Paraná, Juruena, bacias da margem esquerda do Rio Amazonas no nordeste do Estado do Amazonas e no noroeste do Estado do Pará, Tapajós, Teles Pires e Xingu; chuvas acima da climatologia sobre o curso principal do Rio Amazonas em território peruano e as bacias hidrográficas dos rios Içá, Japurá, Javari, Juruá, Jutai, Napo, Purus, Tefé e curso principal do Rio Solimões.**



1	Abacaxis	9	Guaporé	17	Jutai	25	Negro
2	Amazonas (BR)	10	Içá	18	Madeira	26	Purus
3	Amazonas (PE)	11	Iriri	19	Mamoré	27	Solimões
4	Aripuanã	12	Japurá	20	Marañon	28	Tapajós
5	Beni	13	Javari	21	Marg Esq (AM)	29	Tefé
6	Branco	14	Ji-Paraná	22	Marg Esq (PA) NE	30	Teles Pires
7	Coari	15	Juruá	23	Marg Esq (PA) NW	31	Ucayali
8	Curuá Una	16	Juruena	24	Napo	32	Xingu

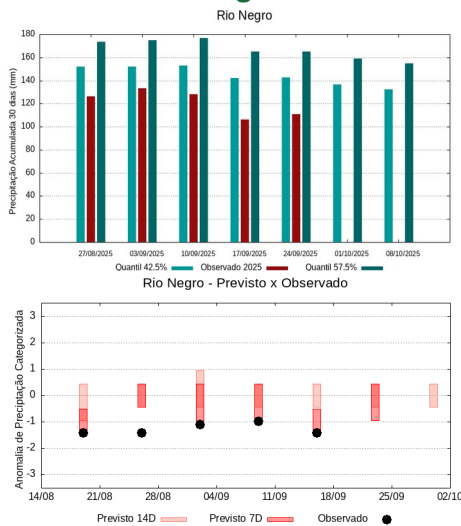
Análise individual por bacia hidrográfica

Bacia do Rio Branco



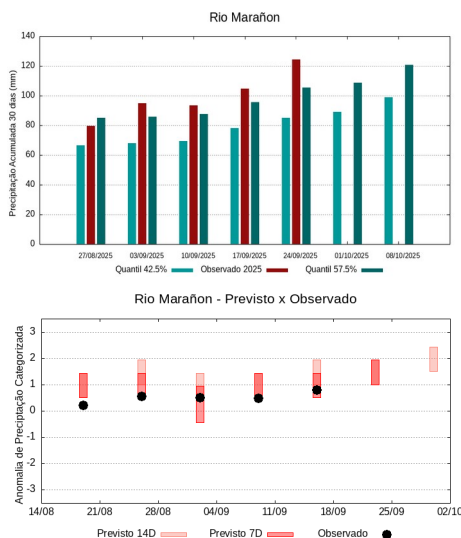
A climatologia do período em análise indica chuvas com registros variando entre **114 e 135 mm** sendo considerados normais (referência quantis 42.5% e 57.5%). Em **24 de setembro de 2025**, foram observados **86 mm** de precipitação média acumulada sobre a bacia em 30 dias, o cálculo da média do índice de anomalia categorizada na área da bacia o valor de **-1.5**, classifica a bacia em condição de **tendência a muito seco**. Nas próximas semanas o comportamento climático indica **redução** dos volumes de chuva, o modelo de prognóstico subsazonal sugere um comportamento **seco ou tendência a muito seco**.

Bacia do Rio Negro



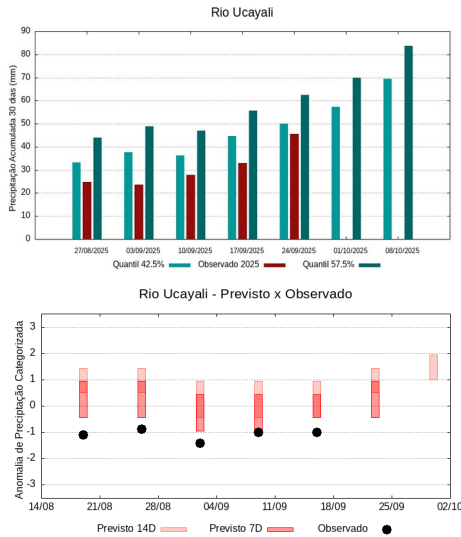
A climatologia do período em análise indica chuvas com registros variando entre **142 e 165 mm** sendo considerados normais (referência quantis 42.5% e 57.5%). Em **24 de setembro de 2025**, foram observados **111 mm** de precipitação média acumulada sobre a bacia em 30 dias, no cálculo da média do índice de anomalia categorizada na área da bacia o valor de **-1.5**, classifica a bacia em condição de **tendência a muito seco**. Nas próximas semanas o comportamento climático indica **manutenção** dos volumes de chuva, o modelo de prognóstico subsazonal sugere um comportamento **seco ou tendência a seco**.

Bacia do Rio Marañon



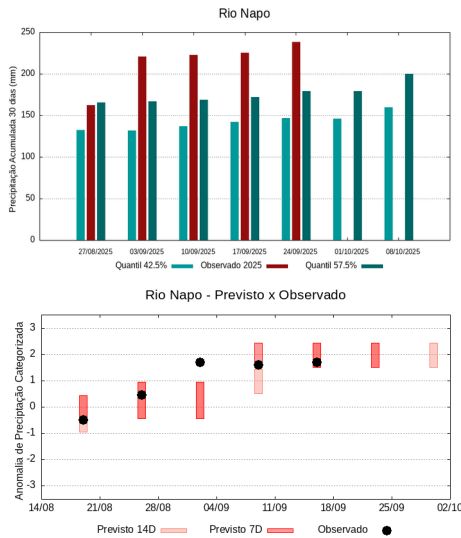
A climatologia do período em análise indica chuvas com registros variando entre **85 e 105 mm** sendo considerados normais (referência quantis 42.5% e 57.5%). Em **24 de setembro de 2025**, foram observados **124 mm** de precipitação média acumulada sobre a bacia em 30 dias, no cálculo da média do índice de anomalia categorizada na área da bacia o valor de **1.0**, classifica a bacia em condição de **chuvoso**. Nas próximas semanas o comportamento climático indica **elevação** dos volumes de chuva, o modelo de prognóstico subsazonal sugere um comportamento **chuvoso ou tendência a muito chuvoso**.

Bacia do Rio Ucayali



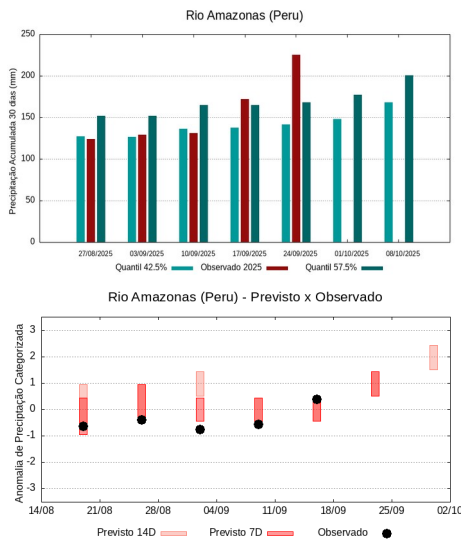
A climatologia do período em análise indica chuvas com registros variando entre **50 e 62 mm** sendo considerados normais (referência quantis 42.5% e 57.5%). Em **24 de setembro de 2025**, foram observados **46 mm** de precipitação média acumulada sobre a bacia em 30 dias, no cálculo da média do índice de anomalia categorizada na área da bacia o valor de **-0.7**, classifica a bacia em condição de **tendência a seco**. Nas próximas semanas o comportamento climático indica **elevação** dos volumes de chuva, o modelo de prognóstico subsazonal sugere um comportamento **próximo da normalidade ou tendência a chuvoso**.

Bacia do Rio Napo



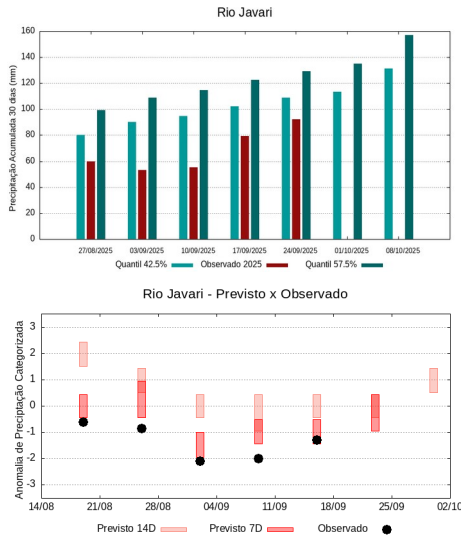
A climatologia do período em análise indica chuvas com registros variando entre **147 e 179 mm** sendo considerados normais (referência quantis 42.5% e 57.5%). Em **24 de setembro de 2025**, foram observados **238 mm** de precipitação média acumulada sobre a bacia em 30 dias, no cálculo da média do índice de anomalia categorizada na área da bacia o valor de **1.7**, classifica a bacia em condição de **tendência a muito chuvoso**. Nas próximas semanas o comportamento climático indica **elevação** dos volumes de chuva, o modelo de prognóstico subsazonal sugere um comportamento **chuvoso ou tendência a muito chuvoso**.

Curso principal do Rio Amazonas (Peru)



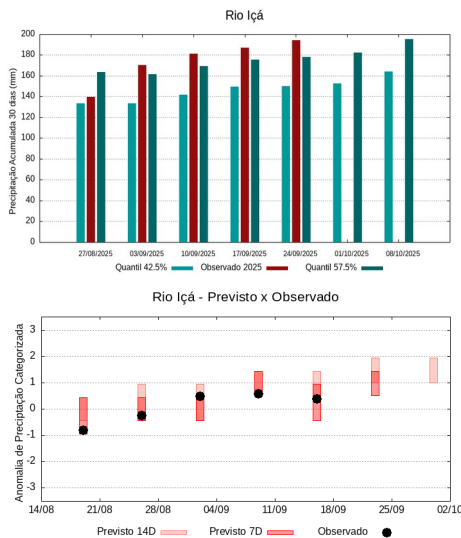
A climatologia do período em análise indica chuvas com registros variando entre **142 e 168 mm** sendo considerados normais (referência quantis 42.5% e 57.5%). Em **24 de setembro de 2025**, foram observados **226 mm** de precipitação média acumulada sobre a bacia em 30 dias, no cálculo da média do índice de anomalia categorizada na área da bacia o valor de **1.3**, classifica a bacia em condição de **chuvoso**. Nas próximas semanas o comportamento climático indica **elevação** dos volumes de chuva, o modelo de prognóstico subsazonal sugere um comportamento **muito chuvoso ou tendência a muito chuvoso**.

Bacia do Rio Javari



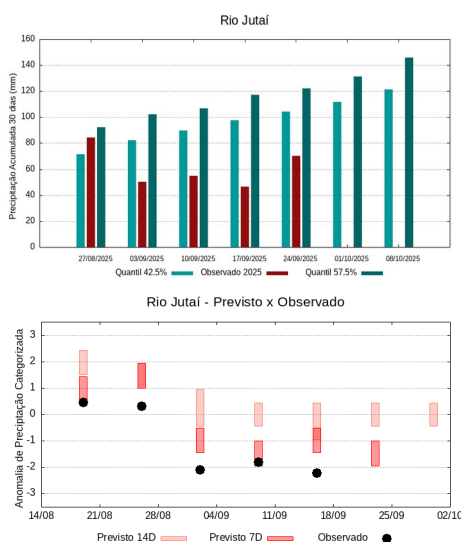
A climatologia do período em análise indica chuvas com registros variando entre **109 e 129 mm** sendo considerados normais (referência quantis 42.5% e 57.5%). Em **24 de setembro de 2025**, foram observados **92 mm** de precipitação média acumulada sobre a bacia em 30 dias, no cálculo da média do índice de anomalia categorizada na área da bacia o valor de **-1.1**, classifica a bacia em condição de **seco**. Nas próximas semanas o comportamento climático indica **elevação** dos volumes de chuva, o modelo de prognóstico subsazonal sugere um comportamento **próximo da normalidade**.

Bacia do Rio Içá (Putumayo)



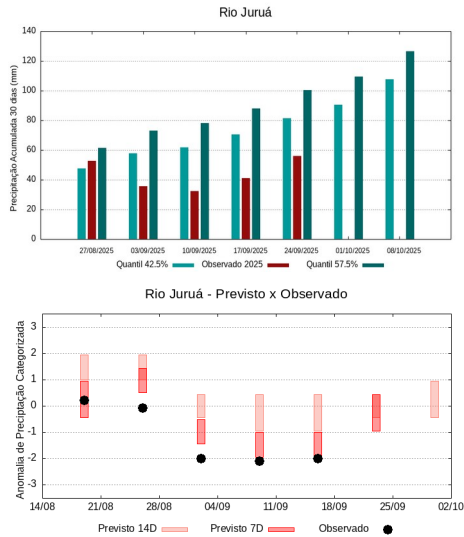
A climatologia do período em análise indica chuvas com registros variando entre **150 e 178 mm** sendo considerados normais (referência quantis 42.5% e 57.5%). Em **24 de setembro de 2025**, foram observados **194 mm** de precipitação média acumulada sobre a bacia em 30 dias, no cálculo da média do índice de anomalia categorizada na área da bacia o valor de **0.5**, classifica a bacia em condição de **tendência a chuvoso**. Nas próximas semanas o comportamento climático indica **elevação** dos volumes de chuva, o modelo de prognóstico subsazonal sugere um comportamento **chuvoso ou tendência a chuvoso**.

Bacia do Rio Jutai



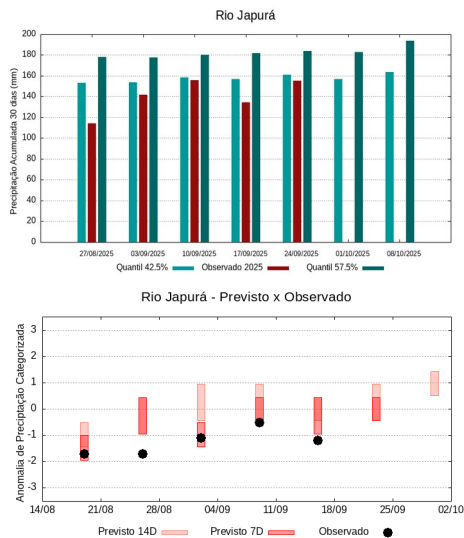
A climatologia do período em análise indica chuvas com registros variando entre **104 e 122 mm** sendo considerados normais (referência quantis 42.5% e 57.5%). Em **24 de setembro de 2025**, foram observados **70 mm** de precipitação média acumulada sobre a bacia em 30 dias, no cálculo da média do índice de anomalia categorizada na área da bacia o valor de **-1.9**, classifica a bacia em condição de **tendência a muito seco**. Nas próximas semanas o comportamento climático indica **elevação** dos volumes de chuva, o modelo de prognóstico subsazonal sugere um comportamento **próximo da normalidade ou tendência a seco**.

Bacia do Rio Juruá



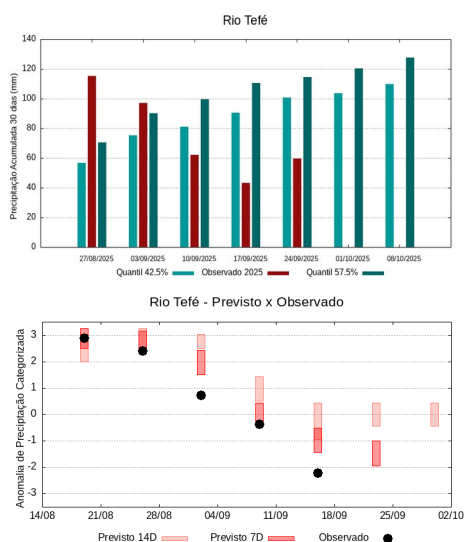
A climatologia do período em análise indica chuvas com registros variando entre **82 e 100 mm** sendo considerados normais (referência quantis 42.5% e 57.5%). Em **24 de setembro de 2025**, foram observados **56 mm** de precipitação média acumulada sobre a bacia em 30 dias, no cálculo da média do índice de anomalia categorizada na área da bacia o valor de **-1.6**, classifica a bacia em condição de **tendência a muito seco**. Nas próximas semanas o comportamento climático indica **elevação** dos volumes de chuva, o modelo de prognóstico subsazonal sugere um comportamento **próximo da normalidade**.

Bacia do Rio Japurá (Caquetá)



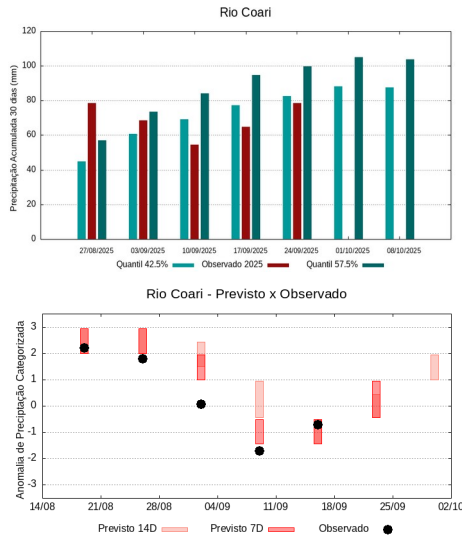
A climatologia do período em análise indica chuvas com registros variando entre **161 e 184 mm** sendo considerados normais (referência quantis 42.5% e 57.5%). Em **24 de setembro de 2025**, foram observados **155 mm** de precipitação média acumulada sobre a bacia em 30 dias, no cálculo da média do índice de anomalia categorizada na área da bacia o valor de **-0.6**, classifica a bacia em condição de **tendência a seco**. Nas próximas semanas o comportamento climático indica **manutenção** dos volumes de chuva, o modelo de prognóstico subsazonal sugere um comportamento **próximo da normalidade ou tendência a chuvoso**.

Bacia do Rio Tefé



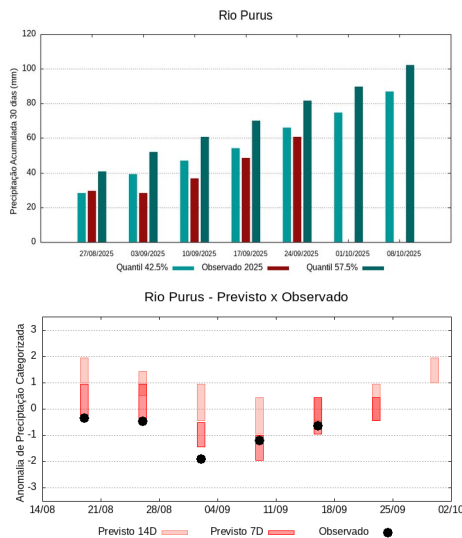
A climatologia do período em análise indica chuvas com registros variando entre **101 e 114 mm** sendo considerados normais (referência quantis 42.5% e 57.5%). Em **24 de setembro de 2025**, foram observados **60 mm** de precipitação média acumulada sobre a bacia em 30 dias, no cálculo da média do índice de anomalia categorizada na área da bacia o valor de **-2.3**, classifica a bacia em condição de **muito seco**. Nas próximas semanas o comportamento climático indica **elevação** dos volumes de chuva, o modelo de prognóstico subsazonal sugere um comportamento **próximo da normalidade ou tendência a seco**.

Bacia do Rio Coari



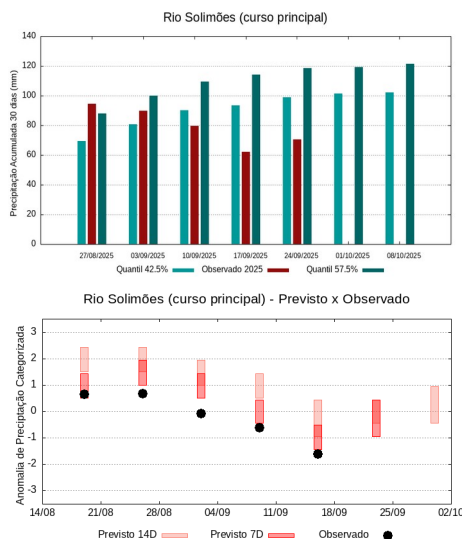
A climatologia do período em análise indica chuvas com registros variando entre **83 e 100 mm** sendo considerados normais (referência quantis 42.5% e 57.5%). Em **24 de setembro de 2025**, foram observados **79 mm** de precipitação média acumulada sobre a bacia em 30 dias, no cálculo da média do índice de anomalia categorizada na área da bacia o valor de **-0.6**, classifica a bacia em condição de **tendência a seco**. Nas próximas semanas o comportamento climático indica **manutenção** dos volumes de chuva, o modelo de prognóstico subsazonal sugere um comportamento **chuvoso ou tendência a chuvoso**.

Bacia do Rio Purus



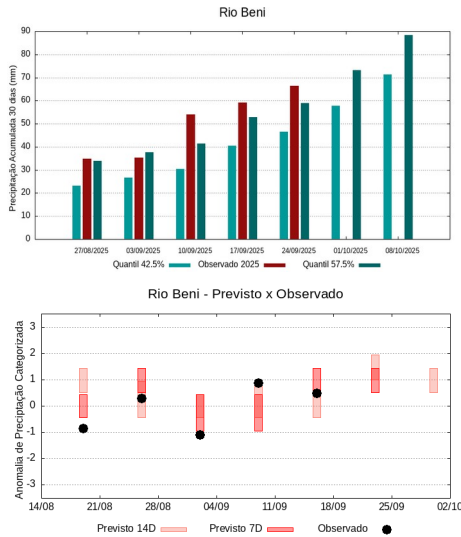
A climatologia do período em análise indica chuvas com registros variando entre **66 e 82 mm** sendo considerados normais (referência quantis 42.5% e 57.5%). Em **24 de setembro de 2025**, foram observados **61 mm** de precipitação média acumulada sobre a bacia em 30 dias, no cálculo da média do índice de anomalia categorizada na área da bacia o valor de **-0.8**, classifica a bacia em condição de **tendência a seco**. Nas próximas semanas o comportamento climático indica **elevação** dos volumes de chuva, o modelo de prognóstico subsazonal sugere um comportamento **próximo da normalidade ou tendência a chuvoso**.

Curso principal do Rio Solimões



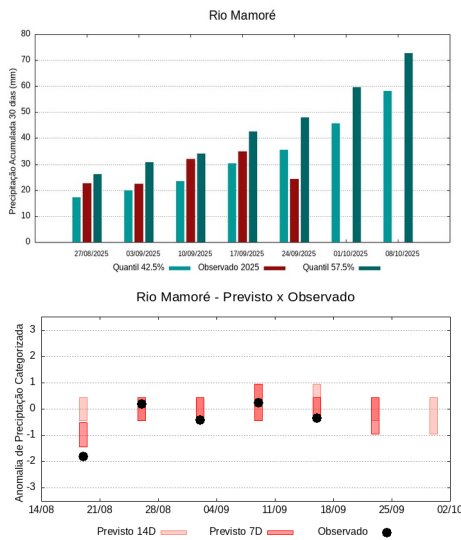
A climatologia do período em análise indica chuvas com registros variando entre **99 e 118 mm** sendo considerados normais (referência quantis 42.5% e 57.5%). Em **24 de setembro de 2025**, foram observados **71 mm** de precipitação média acumulada sobre a bacia em 30 dias, no cálculo da média do índice de anomalia categorizada na área da bacia o valor de **-1.6**, classifica a bacia em condição de **tendência a muito seco**. Nas próximas semanas o comportamento climático indica **manutenção** dos volumes de chuva, o modelo de prognóstico subsazonal sugere um comportamento **próximo da normalidade ou tendência a seco**.

Bacia dos rios Beni e Madre de Dios



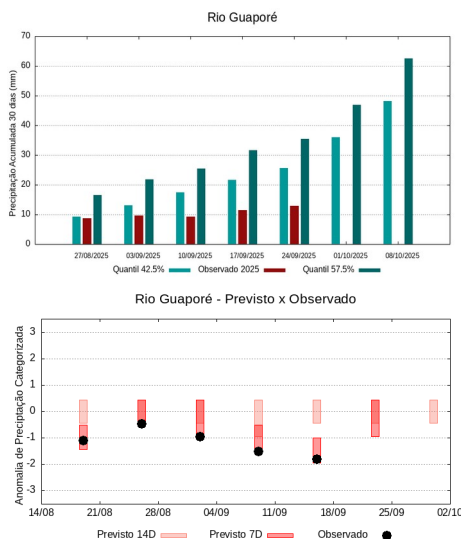
A climatologia do período em análise indica chuvas com registros variando entre **46 e 59 mm** sendo considerados normais (referência quantis 42.5% e 57.5%). Em **24 de setembro de 2025**, foram observados **66 mm** de precipitação média acumulada sobre a bacia em 30 dias, no cálculo da média do índice de anomalia categorizada na área da bacia o valor de **0.4**, classifica a bacia em condição de **normalidade**. Nas próximas semanas o comportamento climático indica **elevação** dos volumes de chuva, o modelo de prognóstico subsazonal sugere um comportamento **chuvoso ou tendência a chuvoso**.

Bacia do Rio Mamoré



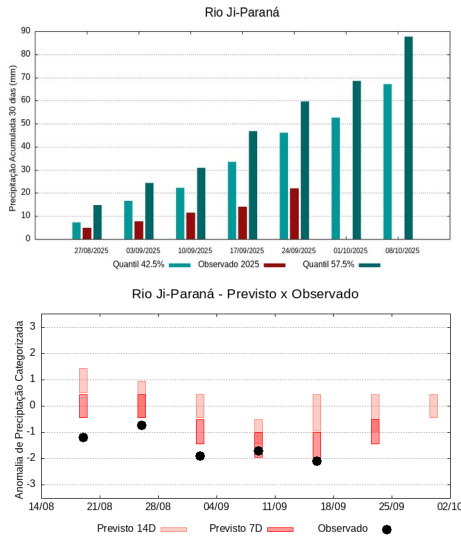
A climatologia do período em análise indica chuvas com registros variando entre **35 e 48 mm** sendo considerados normais (referência quantis 42.5% e 57.5%). Em **24 de setembro de 2025**, foram observados **24 mm** de precipitação média acumulada sobre a bacia em 30 dias, no cálculo da média do índice de anomalia categorizada na área da bacia o valor de **-1.2**, classifica a bacia em condição de **seco**. Nas próximas semanas o comportamento climático indica **elevação** dos volumes de chuva, o modelo de prognóstico subsazonal sugere um comportamento **próximo da normalidade ou tendência a seco**.

Bacia do Rio Guaporé (Iténez)



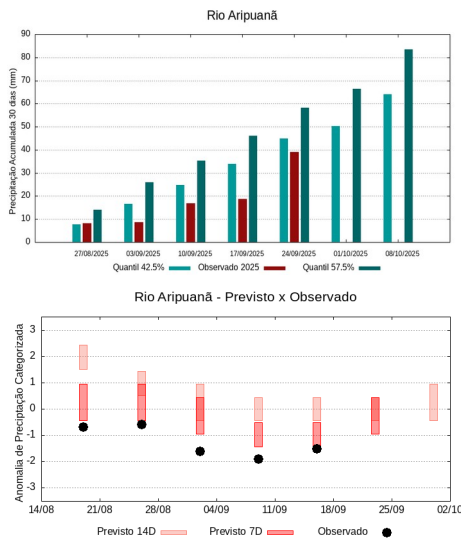
A climatologia do período em análise indica chuvas com registros variando entre **26 e 35 mm** sendo considerados normais (referência quantis 42.5% e 57.5%). Em **24 de setembro de 2025**, foram observados **13 mm** de precipitação média acumulada sobre a bacia em 30 dias, no cálculo da média do índice de anomalia categorizada na área da bacia o valor de **-1.7**, classifica a bacia em condição de **tendência a muito seco**. Nas próximas semanas o comportamento climático indica **elevação** dos volumes de chuva, o modelo de prognóstico subsazonal sugere um comportamento **seco ou tendência a seco**.

Bacia do Rio Ji-Paraná



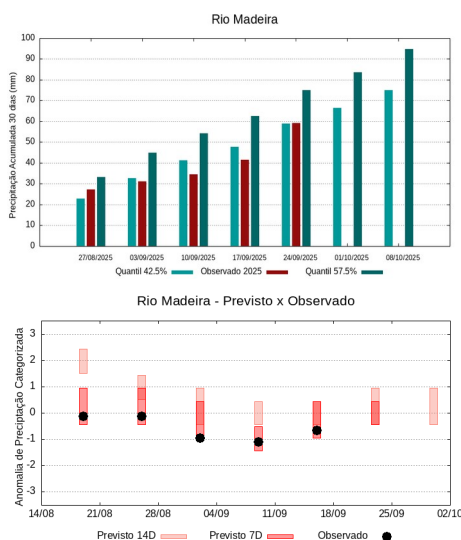
A climatologia do período em análise indica chuvas com registros variando entre **46 e 60 mm** sendo considerados normais (referência quantis 42.5% e 57.5%). Em **24 de setembro de 2025**, foram observados **22 mm** de precipitação média acumulada sobre a bacia em 30 dias, no cálculo da média do índice de anomalia categorizada na área da bacia, o valor de **-1.9**, classifica a bacia em condição de **tendência a muito seco**. Nas próximas semanas o comportamento climático indica **elevação** dos volumes de chuva, o modelo de prognóstico subsazonal sugere um comportamento **seco ou tendência a seco**.

Bacia do Rio Aripuanã



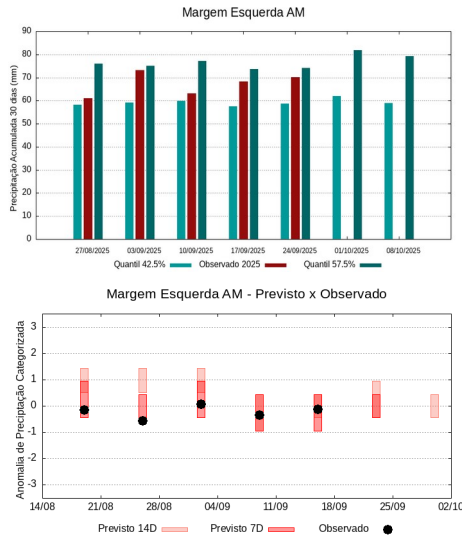
A climatologia do período em análise indica chuvas com registros variando entre **45 e 58 mm** sendo considerados normais (referência quantis 42.5% e 57.5%). Em **24 de setembro de 2025**, foram observados **39 mm** de precipitação média acumulada sobre a bacia em 30 dias, no cálculo da média do índice de anomalia categorizada na área da bacia o valor de **-0.9**, classifica a bacia em condição de **tendência a seco**. Nas próximas semanas o comportamento climático indica **elevação** dos volumes de chuva, o modelo de prognóstico subsazonal sugere um comportamento **próximo da normalidade**.

Bacia do Rio Madeira



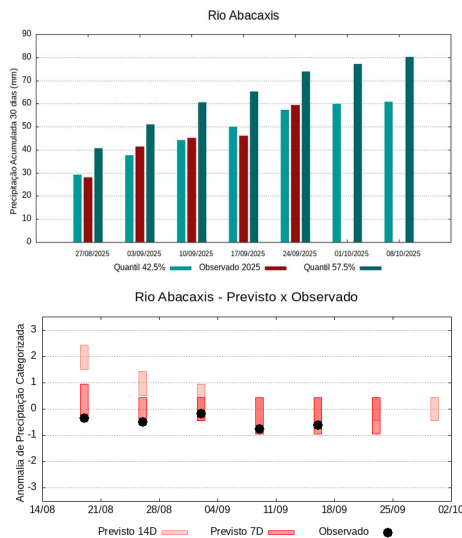
A climatologia do período em análise indica chuvas com registros variando entre **59 e 75 mm** sendo considerados normais (referência quantis 42.5% e 57.5%). Em **24 de setembro de 2025**, foram observados **59 mm** de precipitação média acumulada sobre a bacia em 30 dias, no cálculo da média do índice de anomalia categorizada na área da bacia o valor de **-0.5**, classifica a bacia em condição de **tendência a seco**. Nas próximas semanas o comportamento climático indica **elevação** dos volumes de chuva, o modelo de prognóstico subsazonal sugere um comportamento **próximo da normalidade**.

Bacias da margem esquerda do Rio Amazonas (Amazonas)



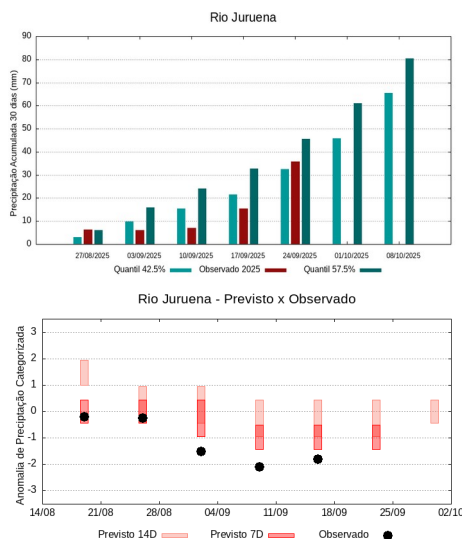
A climatologia do período em análise indica chuvas com registros variando entre **59 e 74 mm** sendo considerados normais (referência quantis 42.5% e 57.5%). Em **24 de setembro de 2025**, foram observados **70 mm** de precipitação média acumulada sobre a bacia em 30 dias, no cálculo da média do índice de anomalia categorizada na área da bacia o valor de **-0.1**, classifica a bacia em condição de **normalidade**. Nas próximas semanas o comportamento climático indica **manutenção** dos volumes de chuva, o modelo de prognóstico subsazonal sugere um comportamento **próximo da normalidade ou tendência a seco**.

Bacia do Rio Abacaxis



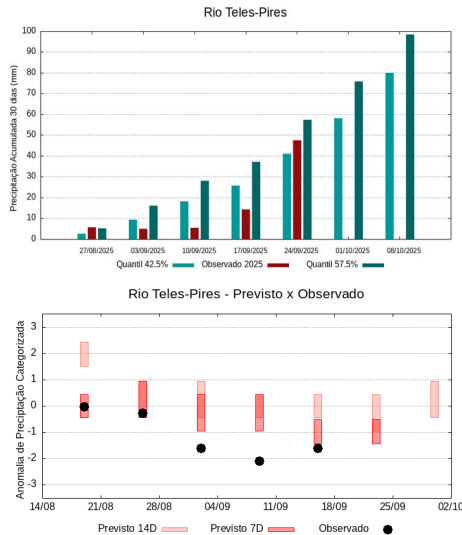
A climatologia do período em análise indica chuvas com registros variando entre **57 e 74 mm** sendo considerados normais (referência quantis 42.5% e 57.5%). Em **24 de setembro de 2025**, foram observados **59 mm** de precipitação média acumulada sobre a bacia em 30 dias, no cálculo da média do índice de anomalia categorizada na área da bacia o valor de **-0.4**, classifica a bacia em condição de **normalidade**. Nas próximas semanas o comportamento climático indica **elevação** dos volumes de chuva, o modelo de prognóstico subsazonal sugere um comportamento **seco ou tendência a seco**.

Bacia do Rio Juruena



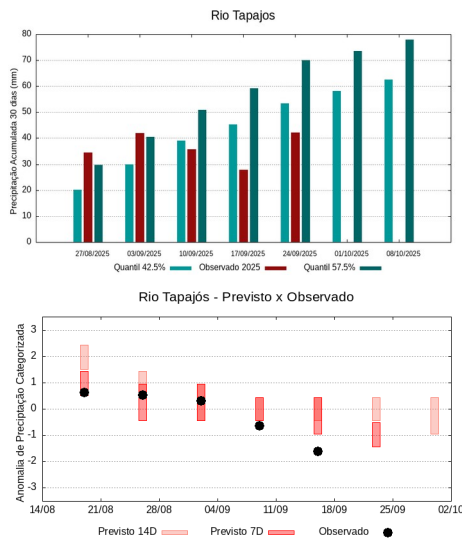
A climatologia do período em análise indica chuvas com registros variando entre **33 e 46 mm** sendo considerados normais (referência quantis 42.5% e 57.5%). Em **24 de setembro de 2025**, foram observados **36 mm** de precipitação média acumulada sobre a bacia em 30 dias, no cálculo da média do índice de anomalia categorizada na área da bacia o valor de **-0.4**, classifica a bacia em condição de **normalidade**. Nas próximas semanas o comportamento climático indica **elevação** dos volumes de chuva, o modelo de prognóstico subsazonal sugere um comportamento **próximo da normalidade**.

Bacia do Rio Teles Pires



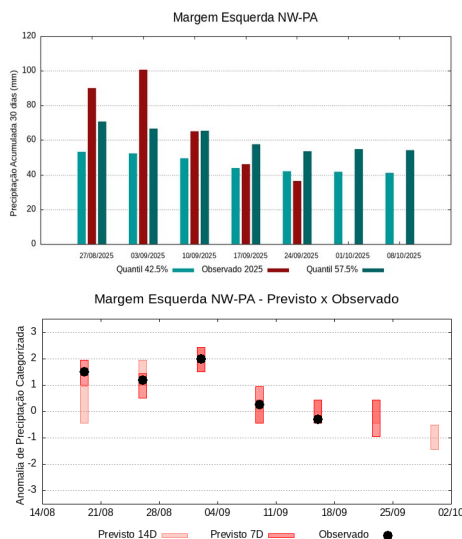
A climatologia do período em análise indica chuvas com registros variando entre **41 e 57 mm** sendo considerados normais (referência quantis 42.5% e 57.5%). Em **24 de setembro de 2025**, foram observados **48 mm** de precipitação média acumulada sobre a bacia em 30 dias, no cálculo da média do índice de anomalia categorizada na área da bacia o valor de **-0.4**, classifica a bacia em condição de **normalidade**. Nas próximas semanas o comportamento climático indica **elevação** dos volumes de chuva, o modelo de prognóstico subsazonal sugere um comportamento **próximo da normalidade**.

Bacia do Rio Tapajós



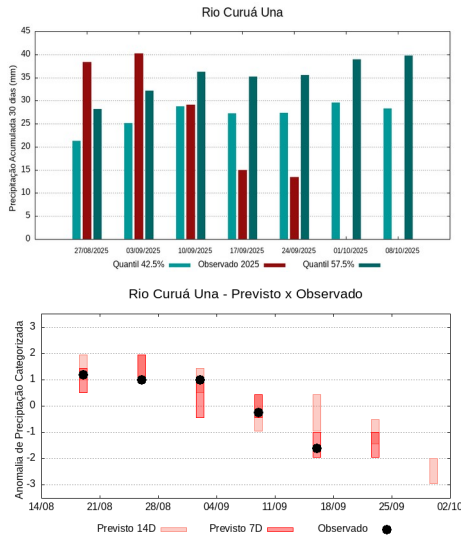
A climatologia do período em análise indica chuvas com registros variando entre **53 e 70 mm** sendo considerados normais (referência quantis 42.5% e 57.5%). Em **24 de setembro de 2025**, foram observados **42 mm** de precipitação média acumulada sobre a bacia em 30 dias, no cálculo da média do índice de anomalia categorizada na área da bacia o valor de **-1.1**, classifica a bacia em condição de **seco**. Nas próximas semanas o comportamento climático indica **elevação** dos volumes de chuva, o modelo de prognóstico subsazonal sugere um comportamento **seco ou tendência a muito seco**.

Bacias da margem esquerda do Rio Amazonas (noroeste do Pará)



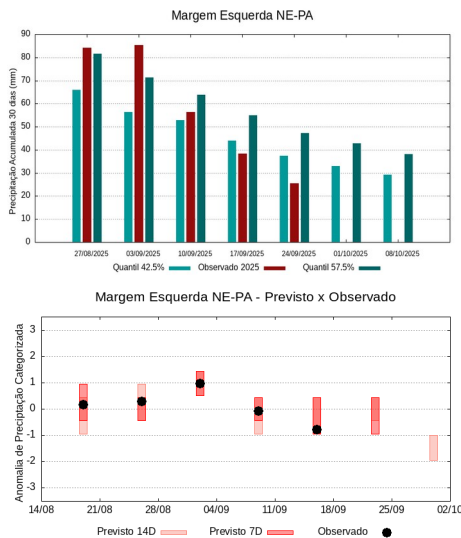
A climatologia do período em análise indica chuvas com registros variando entre **42 e 54 mm** sendo considerados normais (referência quantis 42.5% e 57.5%). Em **24 de setembro de 2025**, foram observados **36 mm** de precipitação média acumulada sobre a bacia em 30 dias, no cálculo da média do índice de anomalia categorizada na área da bacia o valor de **-0.9**, classifica a bacia em condição de **tendência a seco**. Nas próximas semanas o comportamento climático indica **manutenção** dos volumes de chuva, o modelo de prognóstico subsazonal sugere um comportamento **seco ou tendência a muito seco**.

Bacia do Rio Curuá Una



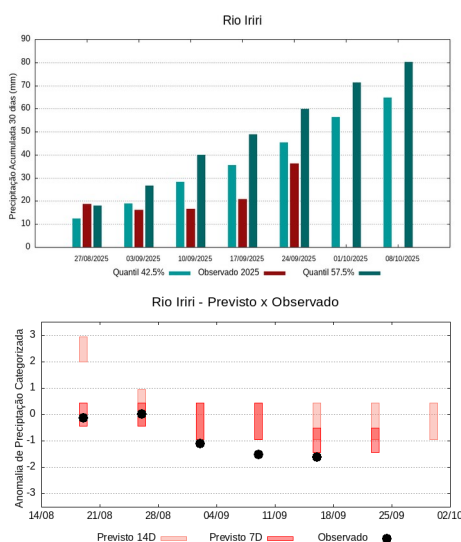
A climatologia do período em análise indica chuvas com registros variando entre **27 e 36 mm** sendo considerados normais (referência quantis 42.5% e 57.5%). Em **24 de setembro de 2025**, foram observados **13 mm** de precipitação média acumulada sobre a bacia em 30 dias, no cálculo da média do índice de anomalia categorizada na área da bacia o valor de **-2.0**, classifica a bacia em condição de **muito seco**. Nas próximas semanas o comportamento climático indica **elevação** dos volumes de chuva, o modelo de prognóstico subsazonal sugere um comportamento **extremamente seco ou tendência a extremamente seco**.

Bacias da margem esquerda do Rio Amazonas (nordeste do PA)



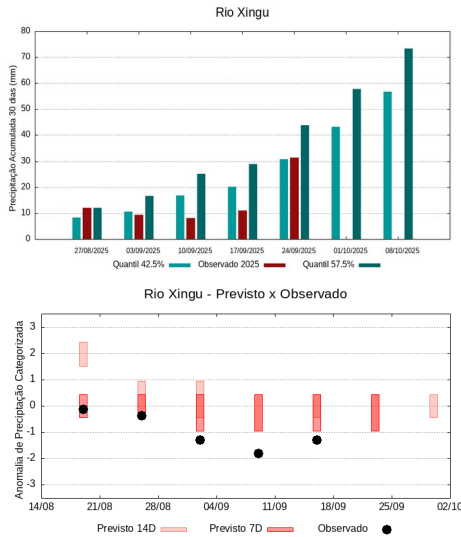
A climatologia do período em análise indica chuvas com registros variando entre **38 e 47 mm** sendo considerados normais (referência quantis 42.5% e 57.5%). Em **24 de setembro de 2025**, foram observados **26 mm** de precipitação média acumulada sobre a bacia em 30 dias, no cálculo da média do índice de anomalia categorizada na área da bacia o valor de **-1.3**, classifica a bacia em condição de **seco**. Nas próximas semanas o comportamento climático indica **redução** dos volumes de chuva, o modelo de prognóstico subsazonal sugere um comportamento **seco ou tendência a muito seco**.

Bacia do Rio Iriti



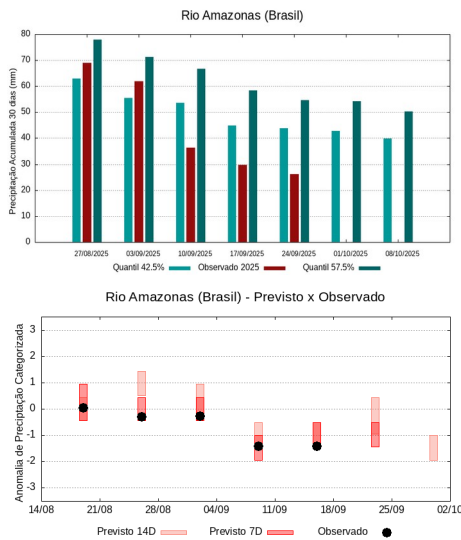
A climatologia do período em análise indica chuvas com registros variando entre **45 e 60 mm** sendo considerados normais (referência quantis 42.5% e 57.5%). Em **24 de setembro de 2025**, foram observados **36 mm** de precipitação média acumulada sobre a bacia em 30 dias, no cálculo da média do índice de anomalia categorizada na área da bacia o valor de **-1.3**, classifica a bacia em condição de **seco**. Nas próximas semanas o comportamento climático indica **elevação** dos volumes de chuva, o modelo de prognóstico subsazonal sugere um comportamento **seco ou tendência a seco**.

Bacia do Rio Xingu



A climatologia do período em análise indica chuvas com registros variando entre **31 e 44 mm** sendo considerados normais (referência quantis 42.5% e 57.5%). Em **24 de setembro de 2025**, foram observados **31 mm** de precipitação média acumulada sobre a bacia em 30 dias, no cálculo da média do índice de anomalia categorizada na área da bacia o valor de **-0.7**, classifica a bacia em condição de **tendência a seco**. Nas próximas semanas o comportamento climático indica **elevação** dos volumes de chuva, o modelo de prognóstico subsazonal sugere um comportamento **próximo da normalidade ou tendência a seco**.

Curso principal do Rio Amazonas (Brasil)

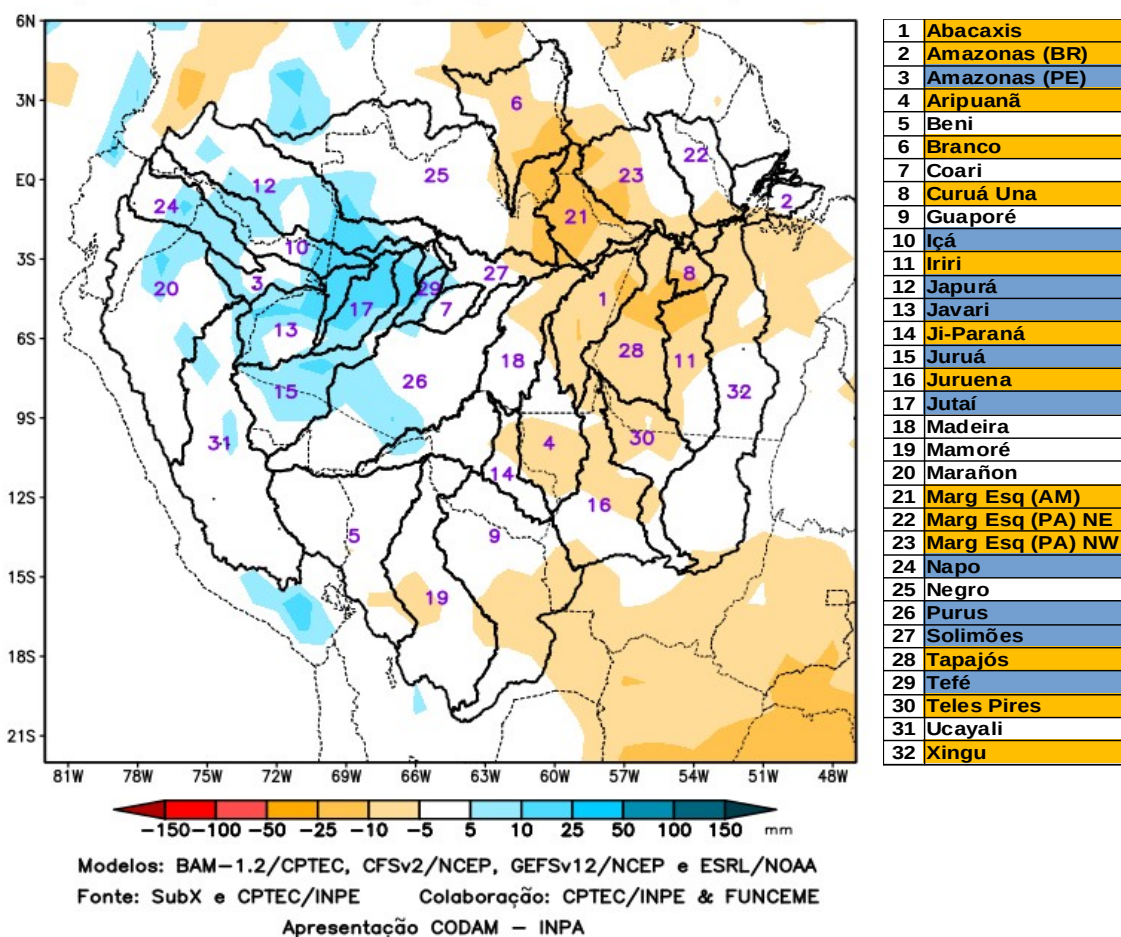


A climatologia do período em análise indica chuvas com registros variando entre **44 e 55 mm** sendo considerados normais (referência quantis 42.5% e 57.5%). Em **24 de setembro de 2025**, foram observados **26 mm** de precipitação média acumulada sobre a bacia em 30 dias, no cálculo da média do índice de anomalia categorizada na área da bacia o valor de **-1.6**, classifica a bacia em condição de **tendência a muito seco**. Nas próximas semanas o comportamento climático indica **redução** dos volumes de chuva, o modelo de prognóstico subsazonal sugere um comportamento **muito seco ou tendência a muito seco**.

Previsão multimodelo subsazonal CPTEC/INPE-FUNCEME produzida em 23/09/2025 para os próximos 7 e 14 dias.

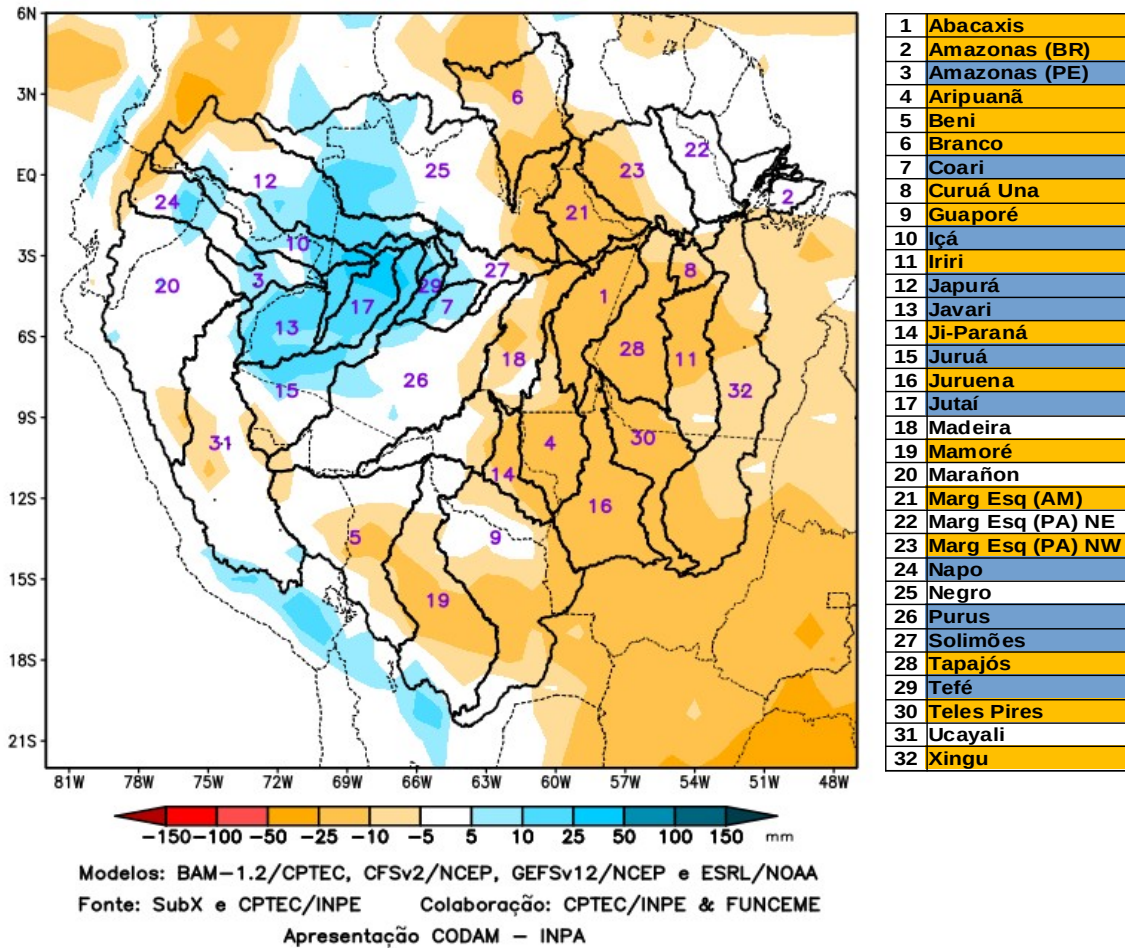
A previsão multimodelo subsazonal calibrada CPTEC/INPE-FUNCEME é gerada através de cooperação científica entre o CPTEC/INPE e a FUNCEME, sendo proveniente do conjunto de 4 modelos globais (um modelo brasileiro, o BAM-1.2/CPTEC, e três modelos dos EUA, CFSv2/NCEP, GEFSv12/NCEP e ESRL/NOAA, estes três últimos do projeto SubX). As anomalias de precipitação previstas são determinadas em relação ao período climatológico de 1999 a 2016. A seguir são apresentadas as saídas para o intervalo de previsão de 07 e 14 dias detalhando o comportamento previsto sobre as bacias de interesse.

PREVISÃO SUBSAZONAL – MULTIMODELO CALIBRADO
Anomalia (mm) de Precipitação Acumulada
(07 Dias) Período: 24/09/2025 – 30/09/2025



A Figura acima, apresenta o prognóstico para o intervalo de 7 dias entre 24/09/2025 e 30/09/2025, previsão de déficit de precipitação (laranja) concentrado sobre o nordeste da região monitorada, sobre o curso principal do Rio Amazonas em território brasileiro, as bacias dos rios Abacaxis, Aripuanã, Branco, Curuá Una, Iriri, Ji-Paraná, Juruena, bacias da margem esquerda do Rio Amazonas no nordeste do Estado do Amazonas e no nordeste e no noroeste do Estado do Pará, Tapajós, Teles Pires e Xingu. Previsão de anomalias positivas de precipitação (azul) sobre o curso principal do Rio Amazonas em território peruano, as bacias dos rios Içá, Japurá, Javari, Juruá, Jutaí, Napo, Purus, Tefé e curso principal do Rio Solimões. Previsão de chuvas próximas a climatologia (branco) sobre as demais bacias monitoradas.

PREVISÃO SUBSAZONAL-MULTIMODELO CALIBRADO
 Anomalia (mm) de Precipitação Acumulada
 (14 Dias) Período: 24/09/2025 - 07/10/2025



A Figura acima, apresenta o prognóstico para o intervalo de 14 dias entre 24/09/2025 e 07/10/2025, previsão de déficit de precipitação (laranja) concentrado sobre o nordeste da região monitorada, sobre o curso principal do Rio Amazonas em território brasileiro, as bacias dos rios Abacaxis, Aripuanã, Beni, Branco, Curuá Una, Iriri, Ji-Paraná, Juruena, Mamoré, bacias da margem esquerda do Rio Amazonas no nordeste do Estado do Amazonas e no noroeste do Estado do Pará, Tapajós, Teles Pires e Xingu. Previsão de anomalias positivas de precipitação (azul) sobre o curso principal do Rio Amazonas em território peruano, as bacias dos rios Coari, Içá, Japurá, Javari, Juruá, Jutaí, Napo, Purus, Tefé e curso principal do Rio Solimões. Previsão de chuvas próximas a climatologia (branco) sobre as demais bacias monitoradas.

Valores de Referência para a precipitação acumulada em 30 dias na data da análise.

A Tabela 1, mostra os valores de precipitação média acumulada (mm de chuva) por bacia, tomando como base as estimativas de precipitação por meio de imagens de satélite, produto denominado MERGE/GPM, disponibilizado pelo Instituto Nacional de Pesquisas Espaciais, no período 2000 – 2024, levando-se em conta o limite geográfico das bacias hidrográficas da Amazônia, para tanto foi utilizada a técnica de quantis, por se mostrar uma ferramenta adequada e precisa para categorizar precipitação e anomalias de variáveis discretas, foram adotados os seguintes limites 5%, 12.5%, 20%, 27.5%, 35%, 42.5%, 57.5%, 65%, 72.5%, 80%, 87.5% e 95% buscando estratificar a técnica e permitir uma categorização mais detalhada das condições em cada bacia monitorada.

24/09/2025	Quantis para categorização de anomalias de precipitação											
	5.0%	12.5%	20.0%	27.5%	35.0%	42.5%	57.5%	65.0%	72.5%	80.0%	87.5%	95.0%
Abacaxis	12	23	32	41	49	57	74	83	93	108	126	156
Amazonas (BR)	13	20	27	33	39	44	55	61	69	79	92	115
Amazonas (PE)	69	89	103	119	131	142	168	184	203	224	246	286
Aripuanã	8	17	24	31	38	45	58	67	77	90	114	159
Beni	14	23	29	35	41	46	59	66	75	86	101	127
Branco	49	68	81	92	103	114	135	145	157	171	191	233
Coari	42	55	63	69	76	83	100	108	117	127	140	165
Curuá Una	8	13	16	20	24	27	36	41	48	57	71	88
Guaporé	5	9	13	17	21	26	35	42	50	60	75	104
Içá	73	92	108	124	138	150	178	192	209	228	252	288
Iriri	8	19	27	33	39	45	60	69	79	92	109	140
Japurá	78	104	122	137	150	161	184	196	212	230	251	288
Javari	47	65	77	88	99	109	129	140	153	168	187	217
Ji-Paraná	11	43	27	33	39	46	60	68	79	93	118	165
Juruá	29	21	54	64	72	82	100	111	124	139	159	193
Juruena	5	11	16	22	27	33	46	54	63	74	89	115
Jutaí	44	65	78	87	96	104	122	133	146	160	179	205
Madeira	18	28	36	43	51	59	75	85	96	110	128	161
Mamoré	8	14	20	25	30	35	48	56	65	76	92	121
Marañon	31	44	55	65	75	85	105	116	127	140	158	189
Marg Esq (AM)	18	28	35	43	51	59	74	82	92	105	119	146
Marg Esq (PA) NE	7	13	21	27	32	38	47	52	58	66	76	94
Marg Esq (PA) NW	13	19	25	31	36	42	54	60	66	74	86	105
Napo	64	83	98	113	129	147	179	196	214	236	262	308
Negro	71	95	109	121	132	142	165	177	191	208	231	270
Purus	22	36	45	52	59	66	82	90	100	112	129	158
Solimões	45	61	71	80	90	99	118	128	139	152	169	198
Tapajós	11	23	31	39	47	53	70	79	90	103	121	150
Tefé	50	66	76	84	93	101	114	122	130	139	151	180
Teles Pires	8	16	22	28	34	41	57	68	81	95	115	149
Ucayali	19	27	33	39	44	50	62	69	77	86	100	124
Xingu	3	9	15	21	26	31	44	52	61	73	91	123

Tabela 1. Quantis de precipitação acumulada (mm) em 30 dias (26 de agosto a 24 de setembro), Climatologia do período (2000 - 2024) dados MERGE/GPM – INPE/CPTEC.

Categorização das anomalias de precipitação

Utilizando os valores constantes na tabela anterior é possível categorizar a precipitação observada no ano corrente em relação aos valores observados nos registros anteriores desde o início da série disponível, assim os valores observados inferiores ao quantil de 5% caracterizam a bacia em condição de extremamente seco, entre 5 e 12.5% em condição de tendência a extremamente seco, entre 12.5 e 20% condição de muito seco, entre 20 e 27.5% tendência a muito seco, entre 27.5 e 35% condição de seco, entre 35 e 42.5 condição de tendência a seco, valores entre 42.5 e 57.5 definem a condição de normalidade, valores entre 57.5 e 65% condição de tendência a chuvoso, entre 65 e 72.5% condição de chuvoso, entre 72.5 e 80% tendência a muito chuvoso, entre 80 e 87.5 condição de muito chuvoso, entre 87.5 e 95% indicam tendência a extremamente chuvoso e finalmente valores superiores a 95% definem a bacia em condição de extremamente chuvoso, conforme legenda abaixo.

QUANTIL	5.0%	12.5%	20.0%	27.5%	35.0%	42.5%		57.5%	65.0%	72.5%	80.0%	87.5%	95.0%
ÍNDICE	-3.0	-2.5	-2.0	-1.5	-1.0	-0.5	0.0	0.5	1.0	1.5	2.0	2.5	3.0
CATEGORIA	EXTREMAMENTE SECO	TENDÊNCIA A EXTREMAMENTE SECO	MUITO SECO	TENDÊNCIA A MUITO SECO	SECO	TENDÊNCIA A SECO	NORMAL	TENDÊNCIA A CHUVOSO	CHUVOSO	TENDÊNCIA A MUITO CHUVOSO	MUITO CHUVOSO	TENDÊNCIA A EXTREMAMENTE CHUVOSO	EXTREMAMENTE CHUVOSO

As tabelas a seguir apresentam (Tabela 2A) a precipitação média observada (mm) em cada bacia tomando como referência as estimativas de precipitação por satélite utilizando a técnica MERGE, acumuladas em 30 dias nas datas indicadas, disponibilizadas em <http://ftp.cptec.inpe.br/modelos/tempo/MERGE/GPM/DAILY/> os valores médios das anomalias categorizadas (Tabela 2B) foram estimados com base no valor de anomalia de cada pixel na área da bacia monitorada, calculados conforme metodologia descrita no item anterior, nas mesmas datas do monitoramento da precipitação, a escala de cores das anomalias segue a legenda descrita.

	Precipitação acumulada média na bacia (mm)				
	27/08/2025	03/09/2025	10/09/2025	17/09/2025	24/09/2025
Abacaxis	28	41	45	46	59
Amazonas (BR)	69	62	36	30	26
Amazonas (PE)	124	129	131	172	226
Aripuanã	8	9	17	19	39
Beni	35	35	54	59	66
Branco	142	156	122	89	86
Coari	79	69	55	65	79
Curuá Una	38	40	29	15	13
Guaporé	9	10	9	12	13
Içá	139	171	181	187	194
Iriri	19	16	17	21	36
Japurá	114	142	156	135	155
Javari	60	53	55	80	92
Ji-Paraná	5	8	11	14	22
Juruá	53	36	32	41	56
Juruena	6	6	7	16	36
Jutai	84	50	55	47	70
Madeira	27	31	34	41	59
Mamoré	23	23	32	35	24
Marañon	80	95	94	105	124
Marg Esq (AM)	61	73	63	68	70
Marg Esq (PA) NE	84	85	56	38	26
Marg Esq (PA) NW	90	101	65	46	36
Napo	162	221	223	226	238
Negro	126	133	128	106	111
Purus	29	28	37	49	61
Solimões	95	90	80	62	71
Tapajós	35	42	36	28	42
Tefé	115	97	62	43	60
Teles Pires	6	5	6	14	48
Ucayali	25	24	28	33	46
Xingu	12	9	8	11	31

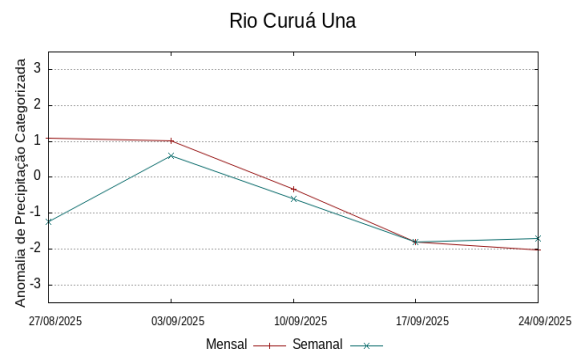
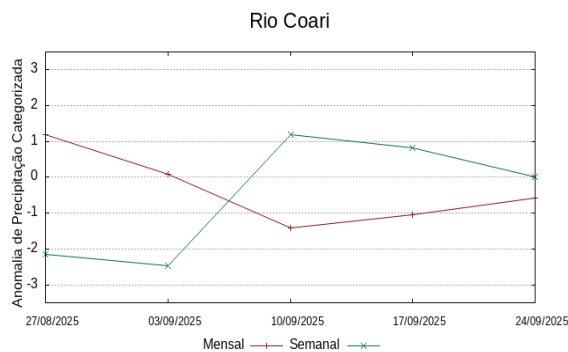
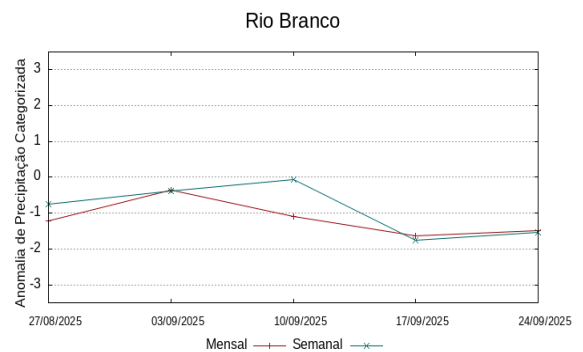
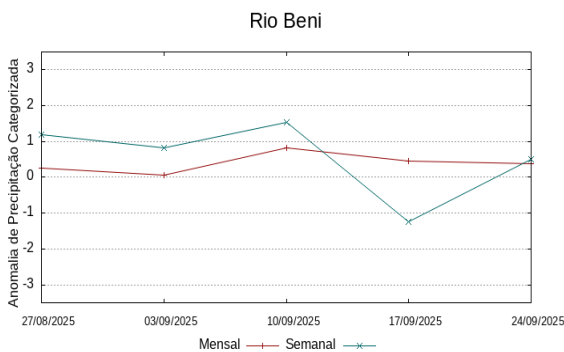
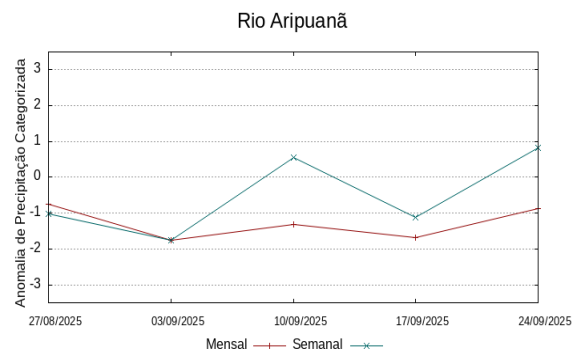
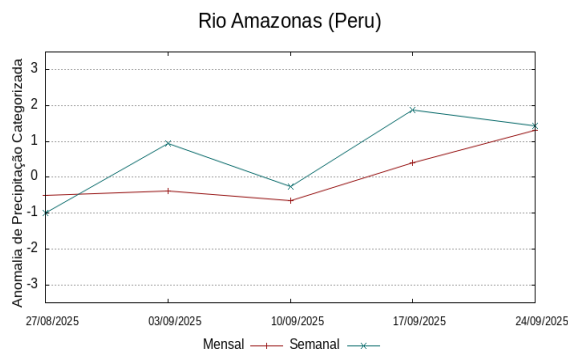
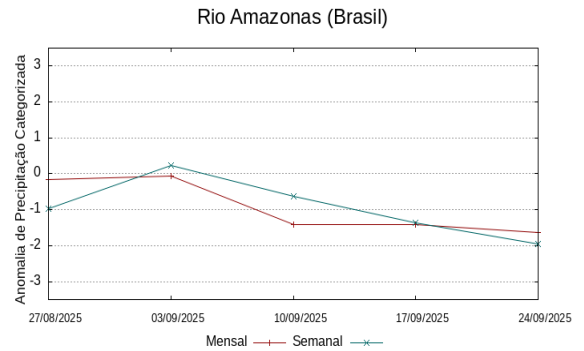
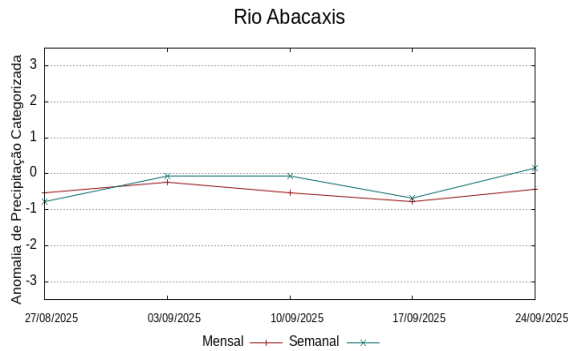
Tabela 2A. Precipitação acumulada em 30 dias (mm), de dados MERGE/GPM – INPE/CPTEC.

	Anomalia categorizada média na bacia				
	27/08/2025	03/09/2025	10/09/2025	17/09/2025	24/09/2025
	-0.5	-0.2	-0.5	-0.8	-0.4
	-0.2	-0.1	-1.4	-1.4	-1.6
	-0.5	-0.4	-0.6	0.4	1.3
	-0.8	-1.7	-1.3	-1.7	-0.9
	0.3	0.1	0.8	0.5	0.4
	-1.2	-0.4	-1.1	-1.6	-1.5
	1.2	0.1	-1.4	-1.0	-0.6
	1.1	1.0	-0.3	-1.8	-2.0
	-0.5	-0.9	-1.7	-1.7	-1.7
	-0.3	0.5	0.6	0.4	0.5
	0.0	-1.1	-1.6	-1.6	-1.3
	-1.6	-0.9	-0.5	-1.2	-0.6
	-1.4	-2.1	-2.1	-1.3	-1.1
	-0.8	-1.6	-1.6	-2.0	-1.9
	-0.5	-1.8	-2.1	-1.9	-1.6
	-0.5	-1.7	-2.0	-1.0	-0.4
	0.1	-2.0	-2.0	-2.3	-1.9
	-0.2	-0.8	-1.1	-0.9	-0.5
	0.1	-0.2	0.1	-0.1	-1.2
	0.4	0.6	0.5	0.7	1.0
	-0.5	0.0	-0.5	-0.2	-0.1
	0.5	1.0	-0.1	-0.8	-1.3
	1.3	1.9	0.2	-0.4	-0.9
	0.5	1.6	1.7	1.6	1.7
	-1.2	-0.9	-1.2	-1.6	-1.5
	-0.5	-1.3	-1.1	-0.8	-0.8
	0.6	-0.1	-0.8	-1.7	-1.6
	0.6	0.2	-0.7	-1.7	-1.1
	2.0	0.7	-1.4	-2.6	-2.3
	-0.4	-1.8	-2.2	-1.1	-0.4
	-0.9	-1.3	-1.0	-1.1	-0.7
	-0.4	-1.3	-1.9	-1.3	-0.7

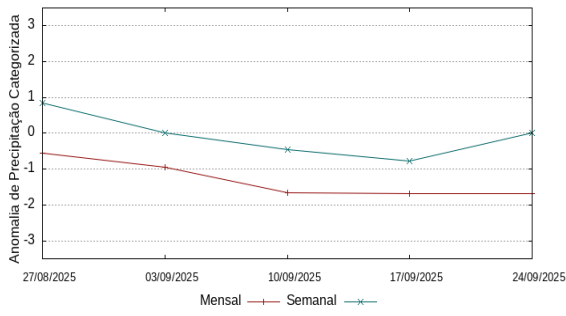
Tabela 2B. Anomalia Categorizada Precipitação por quantis.

Comportamento das anomalias 07 e 30 dias observado nas semanas anteriores

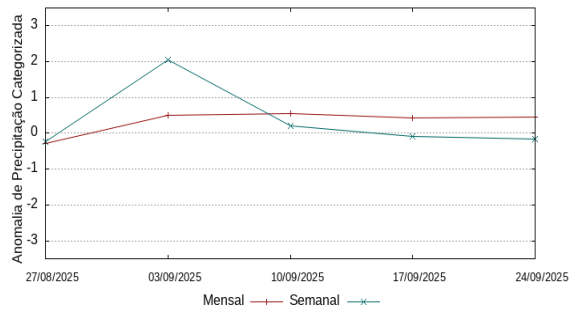
Os gráficos a seguir ilustram o comportamento do índice das anomalias de precipitação nas últimas semanas, linhas vermelhas mostram o comportamento de períodos de 30 dias e linhas em azul o comportamento em relação a períodos de 7 dias, atualizados semanalmente.



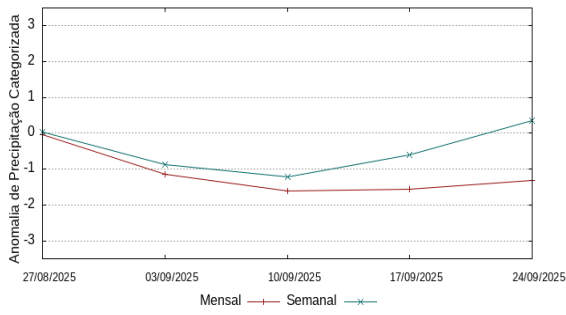
Rio Guaporé



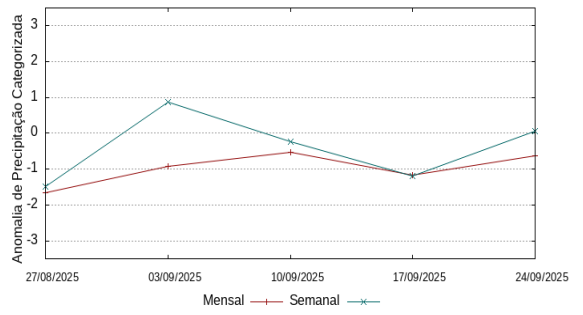
Rio Içá



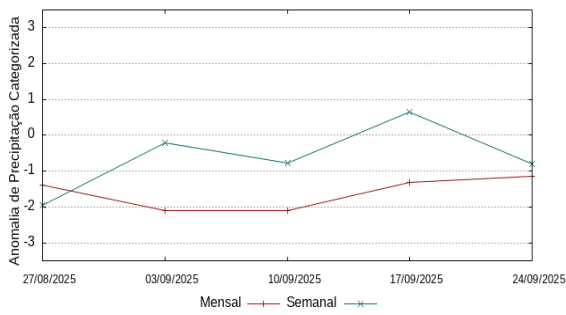
Rio Iriri



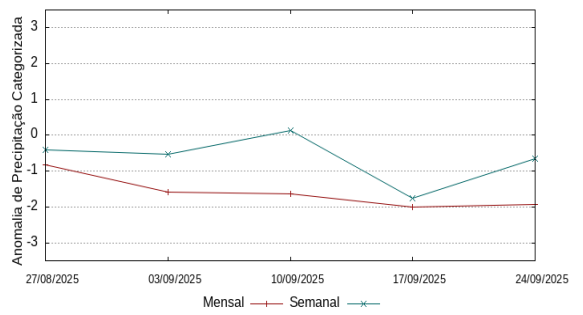
Rio Japurá



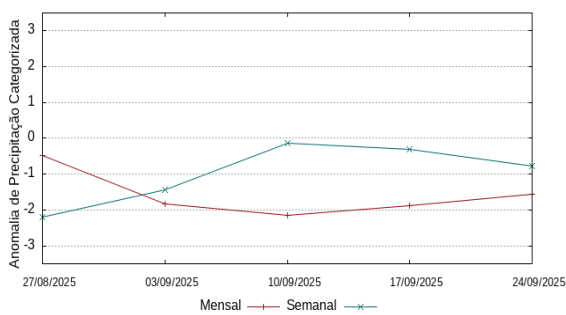
Rio Javari



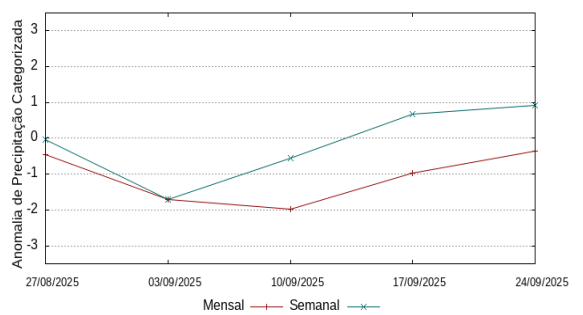
Rio Ji-Paraná



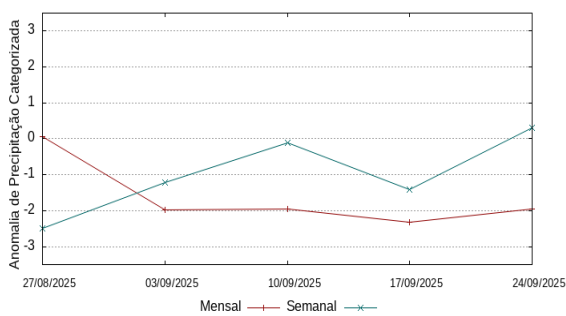
Rio Juruá



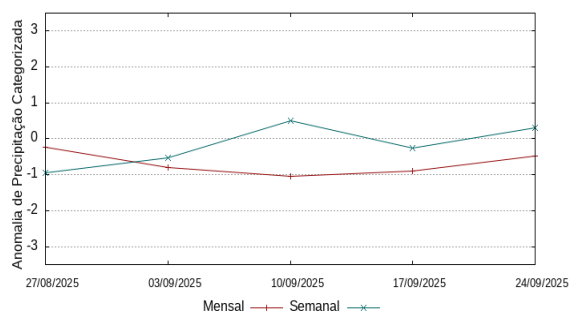
Rio Juruena

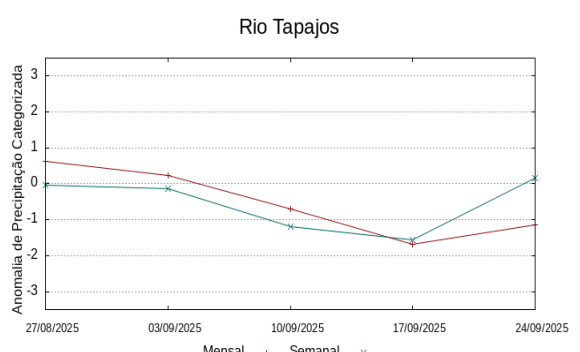
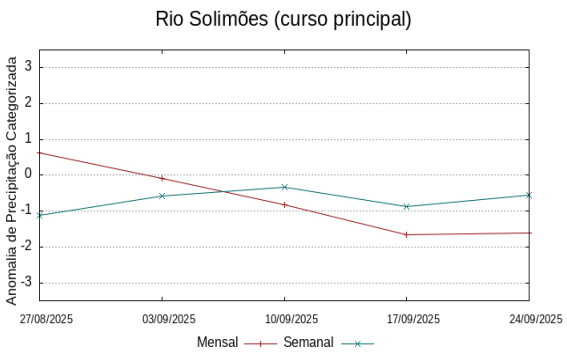
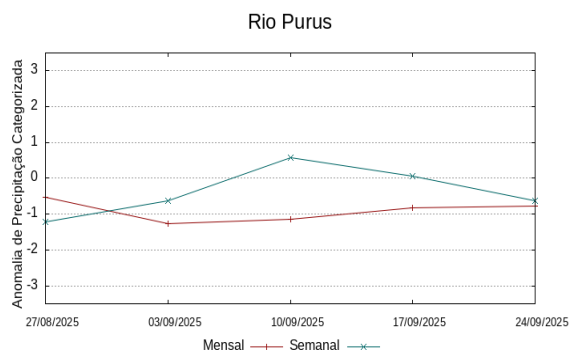
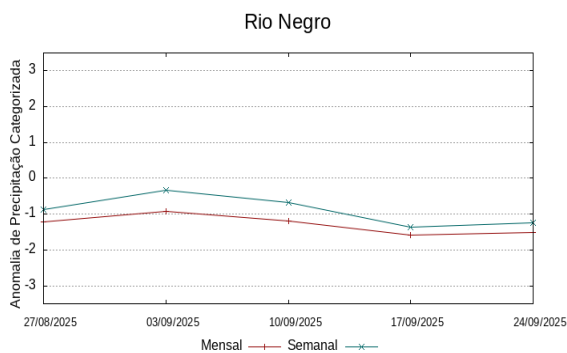
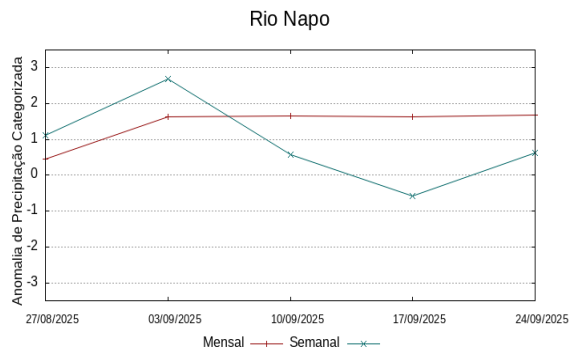
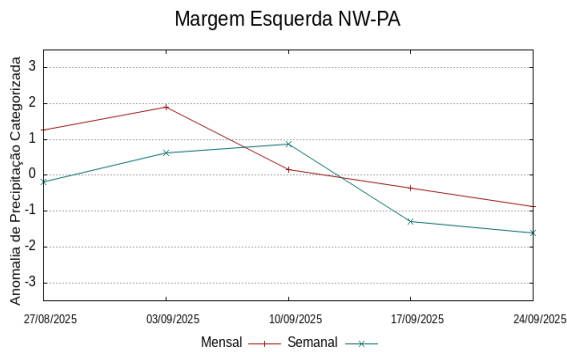
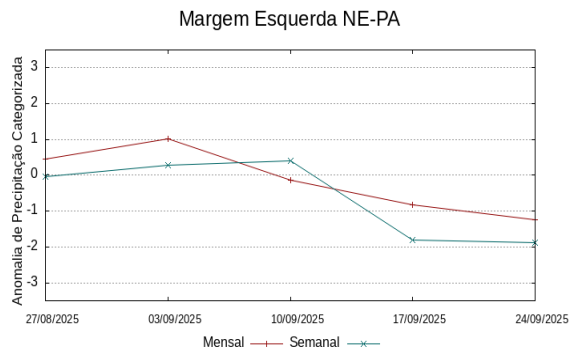
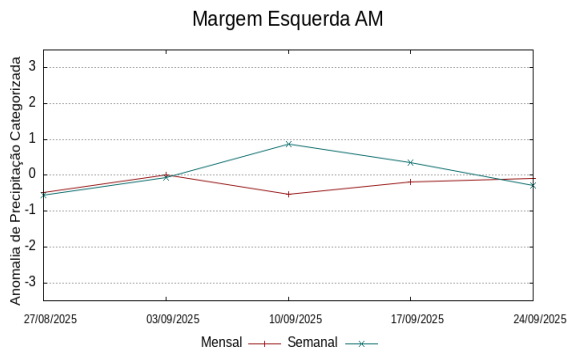
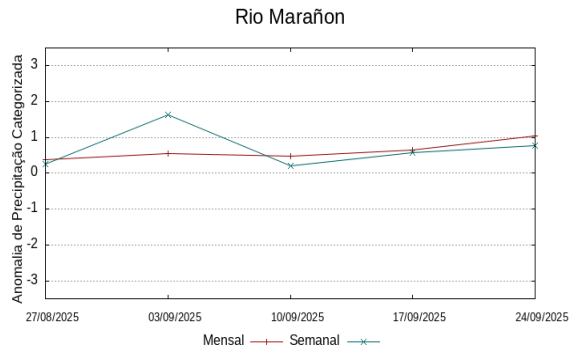
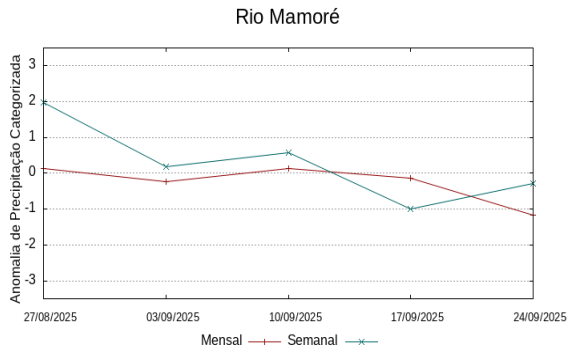


Rio Jutáí



Rio Madeira





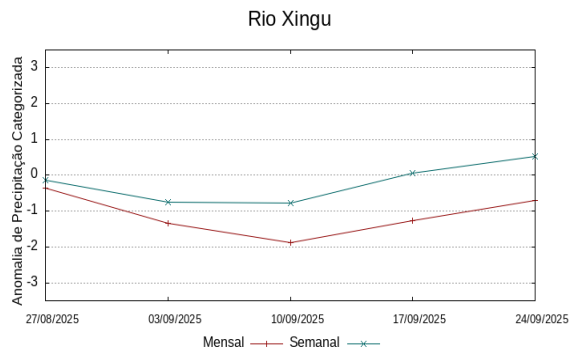
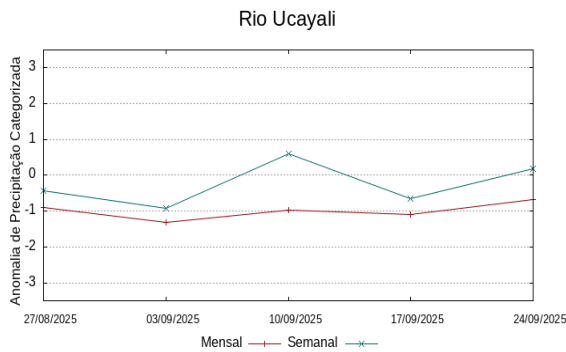
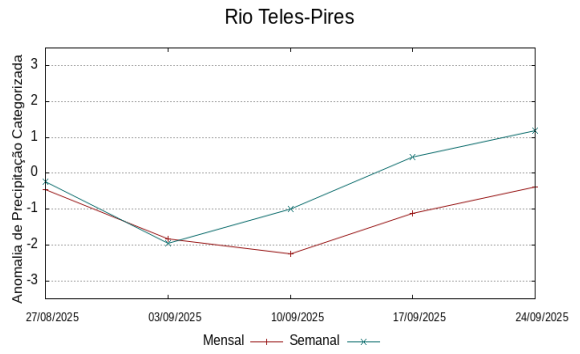
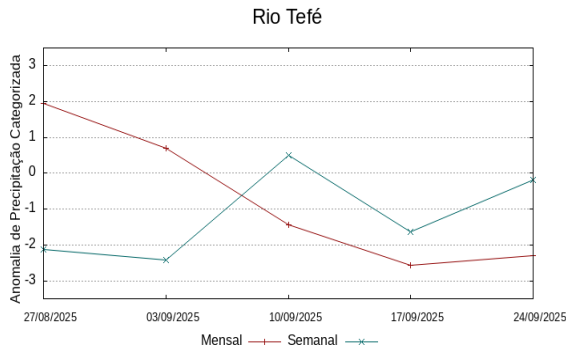
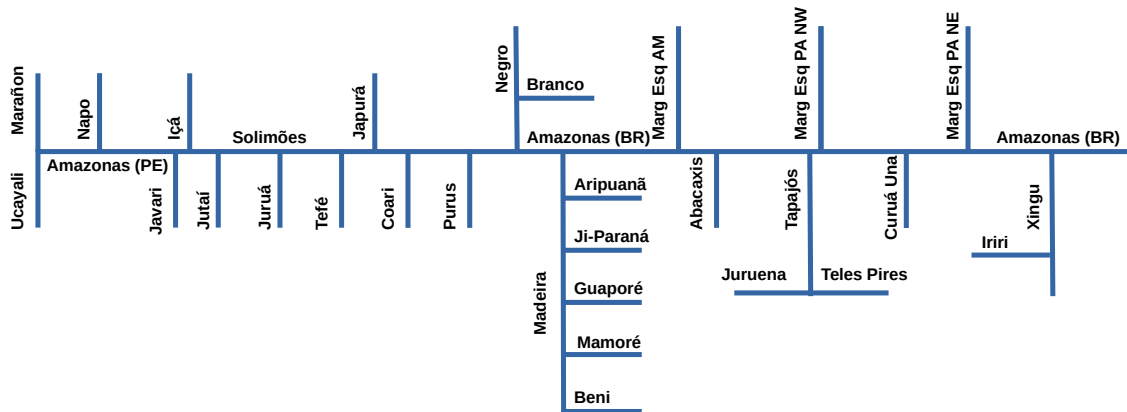


Diagrama unifilar das bacias representadas



Renato Cruz Senna

Pesquisador - CODAM

Meteorologista, CREA-AM 2880-D

Registro Nacional 040459935-4

Fone de contato +55 92 3643 3170

